

Положив в неравенстве (10)  $m=0$ , найдем, что ньютоновский потенциал убывает на бесконечности не медленнее, чем  $\frac{1}{R}$ .

### ЗАДАЧА

Показать, что если плотность  $\rho$  меняет знак в области  $V$ , то выбрать точку  $\zeta$  так, чтобы потенциал первого порядка обратился в нуль, вообще говоря, невозможно.

### § 3. Мультиполи

Вернемся к разложению ньютоновского потенциала в ряд (8). В силу соотношений (9), первый член ряда (8) (потенциал нулевого порядка) равен

$$U_0 \equiv \frac{1}{R} \iiint_V \rho dV.$$

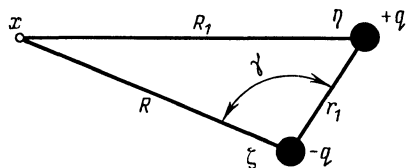


Рис. 31

Это выражение формально совпадает с потенциалом точечного заряда  $q = \iiint_V \rho dV$ , расположенного в точке  $\zeta$ .

Оказывается, и следующие члены ряда (8) можно рассматривать как потенциалы некоторых точечных объектов.

Рассмотрим два точечных заряда  $-q$  и  $+q$  ( $q > 0$ ), расположенных соответственно в точках  $\zeta$  и  $\eta$  (рис. 31). Потенциал поля, созданного этой парой зарядов в точке  $x$ , равен

$$U(x) = -\frac{q}{R} + \frac{q}{R_1},$$

где  $R$  и  $R_1$  — длины отрезков  $\overline{\zeta x}$  и  $\overline{\zeta \eta}$ . Считая, что длина  $r_1$  отрезка  $\overline{\zeta \eta}$  меньше  $R$ , разложим функцию  $\frac{1}{R_1}$  в ряд вида (3), что даст

$$U(x) = \frac{q}{R} \sum_{\alpha=1}^{\infty} \left(\frac{r_1}{R}\right)^{\alpha} P_{\alpha}(\cos \gamma_1), \quad (11)$$

где  $\gamma_1$  — угол между отрезками  $\overline{\zeta x}$  и  $\overline{\zeta \eta}$ .

Перемещая точку  $\eta$  с зарядом  $+q$  вдоль отрезка  $\overline{\eta \zeta}$ , будем приближать ее к точке  $\zeta$  с зарядом  $-q$ , одновременно увеличивая абсолютную величину  $q$  зарядов так, чтобы произведение

$$p_1 \equiv q r_1 \quad (12)$$

оставалось неизменным. При этом, как легко видеть, все члены в разложении (11), кроме первого, будут стремиться к нулю.

В пределе получим

$$\lim_{r_1 \rightarrow 0} U(x) = p_1 \frac{P_1(\cos \gamma)}{R^2} \equiv U^{(1)}(x). \quad (13)$$

В силу соотношения (7), можем также записать

$$U^{(1)}(x) = -p_1 \frac{\partial}{\partial r_1} \left( \frac{1}{R} \right), \quad (14)$$

где  $\frac{\partial}{\partial r_1}$  обозначает дифференцирование по направлению отрезка  $\overline{\zeta\eta}$ .

Точечный объект, получающийся в результате рассмотренного процесса сближения точек  $\eta$  и  $\zeta$ , называют *диполем*. Более точно, под диполем понимают особую точку поля, характеризуемого потенциалом (13) или (14). Потенциал диполя убывает обратно пропорционально квадрату расстояния, как и потенциал первого порядка в разложении (8).

Величину  $p_1$ , входящую в выражения (13) и (14), называют *моментом диполя*, а направление отрезка  $\overline{\zeta\eta}$ , отсчитываемое от отрицательного заряда к положительному, называют *осью диполя*.

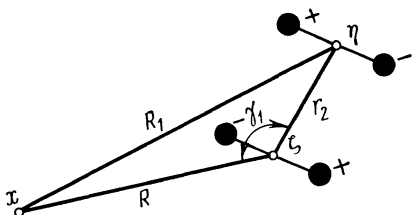


Рис. 32

Сконструируем теперь точечный объект, потенциал которого убывал бы обратно пропорционально  $R^3$ , т. е. так же, как и потенциал второго порядка в разложении (8).

Для этого в произвольной точке  $\eta$  поместим диполь с моментом  $p_1$  и осью, ориентированной вдоль направления  $r_1$ , а в точке  $\zeta$  поместим такой же диполь, но с осью, ориентированной вдоль направления  $-r_1$  (рис. 32). В силу формулы (14), потенциал поля этой системы в точке  $x$  равен

$$U(x) = p_1 \left[ \frac{\partial}{\partial r_1} \left( \frac{1}{R} \right) - \frac{\partial}{\partial r_1} \left( \frac{1}{R_1} \right) \right] = p_1 \frac{\partial}{\partial r_1} \left( \frac{1}{R} - \frac{1}{R_1} \right).$$

Разложим функцию  $\frac{1}{R_1}$  в ряд вида (5) и, приняв во внимание, что в рассматриваемом случае расстояние  $r_0$  равно длине отрезка  $\overline{\zeta\eta}$ , которую мы обозначим через  $r_2$ , получим

$$\begin{aligned} U(x) &= -p_1 \frac{\partial}{\partial r_1} \sum_{\alpha=1}^{\infty} (-1)^\alpha \frac{r_2^\alpha}{\alpha!} \frac{\partial^\alpha}{\partial r_2^\alpha} \left( \frac{1}{R} \right) = \\ &= \sum_{\alpha=1}^{\infty} (-1)^{\alpha+1} \frac{p_1 r_2^\alpha}{\alpha!} \cdot \frac{\partial^{1+\alpha}}{\partial r_1 \partial r_2^\alpha} \left( \frac{1}{R} \right), \quad (15) \end{aligned}$$

где  $\frac{\partial}{\partial r_2}$  обозначает дифференцирование по направлению отрезка  $\overline{\zeta\eta}$ .

Сохраняя направление отрезка  $\bar{\zeta}\eta$  неизменным, будем приближать точку  $\eta$  к точке  $\zeta$ , одновременно увеличивая величину момента  $p_1$  так, чтобы произведение

$$p_2 \equiv 2! p_1 r_2$$

сохраняло постоянное значение. При этом все члены ряда (15), кроме первого, будут стремиться к нулю, вследствие чего в пределе получим

$$\lim_{r_2 \rightarrow 0} U(x) = \frac{p_2}{2!} \frac{\partial^2}{\partial r_1 \partial r_2} \left( \frac{1}{R} \right) \equiv U^{(2)}(x). \quad (16)$$

Точечный объект, получаемый рассматриваемым предельным переходом, получил название *квадруполя*. Величину  $p_2$  называют *моментом квадруполя*, а направления  $r_1$  и  $r_2$  — его *осями*. Потенциал квадруполя при возрастании  $R$  убывает, как и потенциал третьего порядка в разложении (8), обратно пропорционально  $R^3$ .

Сближая два квадруполя можно построить *октаполь* — точечный источник поля, характеризуемый потенциалом

$$U^{(3)}(x) = \frac{p_3}{3!} \frac{\partial^3}{\partial r_1 \partial r_2 \partial r_3} \left( \frac{1}{R} \right).$$

Продолжая этот процесс, вообще приходим к *мультиполю порядка  $n$*  или  $2^n$ -полю — точечному источнику поля, характеризуемому потенциалом

$$U^{(n)}(x) = \frac{p_n}{n!} \frac{\partial^n}{\partial r_1 \partial r_2 \dots \partial r_n} \left( \frac{1}{R} \right), \quad (17)$$

где  $\frac{\partial}{\partial r_k}$  ( $k = 1, 2, \dots, n$ ), обозначает дифференцирование по направлению  $r_k$ . Направления  $r_k$  называют *осями мультиполя*, а величину  $p_n$  — его *моментом*.

По мере повышения порядка мультиполя для его характеристики требуется все большее число параметров. «Мультиполь нулевого порядка» (точечный заряд) полностью определяется одним алгебраическим числом — величиной заряда. Диполь характеризуется тремя параметрами: дипольным моментом и двумя величинами, определяющими направление его оси. Мультиполь  $n$ -го порядка характеризуется  $2n + 1$  параметрами: мультипольным моментом  $p_n$  и  $2n$  параметрами, определяющими направление его  $n$  осей ( $n$  направлений дифференцирования в формуле (17)).

В частном случае все оси мультиполя могут совпадать, имея некоторое одинаковое направление  $r_0$ . Такой мультиполь называют *осевым*. Его потенциал

$$U_0^{(n)}(x) = \frac{p_n}{n!} \frac{\partial^n}{\partial r_0^n} \left( \frac{1}{R} \right).$$

Приняв во внимание соотношение (7), потенциал осевого мультиполя можно представить в виде

$$U_0^{(n)}(x) = (-1)^n \frac{p_n}{R^{n+1}} P_n(\cos \gamma), \quad (18)$$

где  $\gamma$  — угол между осью мультиполя и направлением от мультиполя к точке  $x$ .

### ЗАДАЧИ

1. Показать, что диполь может быть однозначно охарактеризован *вектором дипольного момента*  $\mathbf{P}$ , равным по величине дипольному моменту  $p_1$  и направленным вдоль оси диполя.

Указание. Ввести косинусы углов между осью диполя и осями координат

$$\cos(\mathbf{P}, X_i) = \frac{x_i - \xi_i}{r_0} \quad (i = 1, 2, 3)$$

и выразить потенциал диполя через скалярное произведение вектора с компонентами  $p_1 \cos(\mathbf{P}, X_i)$  на единичный вектор направления от точки расположения диполя к точке, в которой определяется потенциал.

2. Показать, что два мультиполя одинакового порядка, расположенные в одной и той же точке, могут быть заменены одним мультиполем того же порядка с таким моментом и направлениями осей, что поле не изменится.

Указание. Воспользоваться тождеством

$$\frac{\partial^n}{\partial r_1 \partial r_2 \dots \partial r_n} = \sum_{\alpha+\beta+\gamma=n} a_{\alpha\beta\gamma} \frac{\partial^n}{\partial x_1^\alpha \partial x_2^\beta \partial x_3^\gamma},$$

где  $a_{\alpha\beta\gamma}$  — постоянные.

3. Выразить потенциал поля точечного заряда  $q$ , расположенного в точке  $\xi$ , через потенциалы системы мультиполей различного порядка, расположенных в точке  $\zeta$ .

## § 4. Разложение потенциала по мультиполям. Сферические функции

Введем сферические координаты  $R, \theta, \varphi$  с началом в точке  $\zeta$  и рассмотрим разложение (8). Как указывалось (см. замечание к формуле (7)), произведения  $R^{n+1} \frac{\partial}{\partial r_0^n} \left( \frac{1}{R} \right)$  не зависят от значения  $R$ .

Поэтому потенциалы

$$\begin{aligned} U_n &= \frac{(-1)^n}{n!} \iiint_V \rho r_0^n \frac{\partial^n}{\partial r_0^n} \left( \frac{1}{R} \right) dV \equiv \\ &\equiv \frac{1}{R^{n+1}} \frac{(-1)^n}{n!} \iiint_V \rho r_0^n R^{n+1} \frac{\partial}{\partial r_0^n} \left( \frac{1}{R} \right) dV \end{aligned} \quad (19)$$

могут быть представлены как произведение двух сомножителей, из которых первый  $\frac{1}{R^{n+1}}$  зависит только от  $R$ , а второй

$$Y_n(\theta, \varphi) \equiv \frac{(-1)^n}{n!} \iiint_V \rho r_0^n R^{n+1} \frac{\partial}{\partial r_0^n} \left( \frac{1}{R} \right) dV \quad (20)$$